



17 α -甲基睾丸素 C1, 2位高效生物脱氢菌种的选育

陈 莹，李静文，别松涛

(工业微生物教育部重点实验室, 天津科技大学生物工程学院, 天津 300457)

摘要：为利用简单节杆菌生物催化 17 α -甲基睾丸素 C1, 2 位脱氢制备去氢甲基睾丸素, 采用 N⁺离子注入与 Cs¹³⁷- γ 射线辐照两种方法进行菌种诱变, 选育适宜于 17 α -甲基睾丸素 C1, 2 位脱氢的高转化菌株。结果表明, 从 16 株简单节杆菌筛选出的 TCCC11042, 依次经 N⁺离子注入与 Cs¹³⁷- γ 射线辐照处理, 通过甲基睾丸素为底物的摇瓶筛选, 选育得到正变株 F2-20, 该菌株对 17 α -甲基睾丸素脱氢转化率达到 60.8%, 比出发菌株 TCCC11042 的转化率提高了 12.8%。经群体传代方式考察, 诱变株具有良好的遗传稳定性。

关键词：简单节杆菌；17 α -甲基睾丸素；C1, 2 位脱氢；离子注入； γ 射线辐照

中图分类号：Q93-31 文献标志码：A 文章编号：1672-6510(2009)01-0022-04

Breeding of Strain for High-Level C1, 2-Dehydrogenation of 17 α -methyl-testosterone

CHEN Ying, LI Jing-wen, BIE Song-tao

(Key Laboratory of Industrial Microbiology, Ministry of Education, College of Biotechnology,
Tianjin University of Science & Technology, Tianjin 300457, China)

Abstract: Two mutation methods of N⁺ ion implantation and Cs¹³⁷- γ -ray irradiation were used to treat *Arthrobacter simplex*, and to obtain the mutant with high C1, 2-dehydrogenation activity from 17 α -methyl-testosterone to dehydrogen-methyl-testosterone. The original *A. simplex* TCCC11042, which was screened from 16 strains of *A. simplex* based on the result of dehydrogenation of 17 α -methyl-testosterone in flask, was mutated by N⁺ ion implantation and Cs¹³⁷- γ -ray irradiation successively. The results show that one positive mutant F2-20 from TCCC11042 was bred, and the mutant had a high bioconversion ratio of 60.8% from 17 α -methyl-testosterone to dehydrogen-methyl-testosterone, which was higher 12.8% than the original strain TCCC11042 with only 48%. The mutant kept a stable heredity with higher C1, 2-dehydrogenation of 17 α -methyl-testosterone after colony successive inoculation test.

Keywords: *Arthrobacter simplex*; 17 α -methyl-testosterone; C1, 2-dehydrogenation; ion implantation; γ -ray irradiation

简单节杆菌是催化甾体化合物 C1, 2 位脱氢的常用菌株^[1-2], 但并不是所有 C1, 2 位饱和的甾体化合物都能够被其生物脱氢, 要获得适合转化 17 α -甲基睾丸素的产业化菌株, 可以通过菌种诱变的方法来实现。低能离子注入作为一种新的诱变源, 与常规的辐射诱变及化学诱变有着明显的差异, 当低能离子注入生物体时同时存在能量交换、能量沉积、质量沉积及

电荷交换四大效应; 另一方面, 由于注入离子的电荷数、质量数、能量、剂量的组合不同, 可以提供众多的诱变效应, 使离子注入诱变具有突变谱宽、突变率高的特点, 从而可以筛选到符合生产要求、能够提高产量的突变体^[3-4]。 γ 射线辐射诱变作为一种强的诱变剂, 在经人工突变选育优良菌种上也取得了较好的效果^[5-6]。

收稿日期：2008-06-05；修回日期：2008-09-23

基金项目：国家科技基础条件平台资助项目(2005DKA21204-10)

作者简介：陈 莹(1955—), 女, 天津人, 实验师。

本文采用 N^+ 离子注入与 Cs^{137} - γ 射线辐照两种方法对从 16 株简单节杆菌中筛选出的 TCCC11042 出发菌株进行诱变, 选育适宜于 17α -甲基睾丸素 C1,2 位脱氢的高转化菌株, 并考察其群体传代的稳定性。

1 材料与方法

1.1 菌种

简单节杆菌 (*Arthrobacter simplex* TCCC11037-TCCC11052), 天津科技大学工业微生物菌种保藏中心。

1.2 培养基、培养条件和转化条件

斜面及分离平板培养基(g/L): 葡萄糖 10, 酵母膏 10, 琼脂 20, pH 6.4, 121 °C 灭菌 20 min.

摇瓶发酵培养基(g/L): 葡萄糖 10, 玉米浆 12, 酵母膏 5, KH_2PO_4 2.5, pH 6.4, 121 °C 灭菌 20 min.

培养及转化条件: 从培养成熟的斜面上挑取菌苔一环, 接种于灭菌后的装有 30 mL 种子培养基的 250 mL 种子瓶中, 置回转式摇床, 于 160 r/min、32 °C 培养 20 h. 将经过扩大培养后的种子液转接至装有 80 mL 发酵培养基的 500 mL 发酵瓶中, 置回转式摇床, 于 160 r/min、32 °C 培养 22 h. 将甲基睾丸素经球磨机磨成细粉状(95%的微粒达到 13~14 μm), 直接投入到发酵液中, 同时加入发酵液体积 4%的工业级甲醇, 开始微生物转化反应. 转化条件为摇床转速 180 r/min, 转化温度 34 °C, 转化时间 48 h. 转化结束后, 料液经过滤, 收集滤饼烘干, 取样处理, 用 HPLC 测定 17α -甲基睾丸素的转化率。

1.3 N^+ 离子注入诱变处理

菌悬液的制备: 以生理盐水将新鲜斜面上刚生长成熟的菌落洗下, 用玻璃珠打散, 制成 10^6 mL^{-1} 的菌悬液供诱变使用。

离子注入: 将菌悬液涂于载玻片上自然风干后, 放置于培养皿中, 然后将培养皿放入低能加速器(LC-4 型离子注入机, 郑州大学提供)靶室, 打开培养皿盖, 靶室抽真空. 用能量为 30 keV 的不同剂量的 N^+ 离子束进行注入。

稀释涂平板: 用 1 mL 无菌生理盐水洗脱, 经过梯度稀释后, 吸取 0.1 mL 涂布于分离平板培养基上, 30 °C 培养 2~3 d, 用于单菌落的挑选和存活率的计算. 挑取的单菌落转接斜面, 30 °C 培养至成熟, 4 °C 冰箱保存, 供后续的摇瓶发酵实验使用。

1.4 Cs^{137} - γ 射线辐照诱变处理

辐射诱变处理: 采用培养至成熟的新鲜斜面直接

进行辐射, 辐照源为 Cs^{137} , 辐照剂量分别为 0.5 kGy 和 1.0 kGy.

突变株的分离: 将经过辐照处理后的斜面菌体用无菌生理盐水洗下, 制备得到菌悬液, 经梯度稀释后涂布培养皿, 30 °C 培养 2~3 d. 从平板随机挑取单菌落转接斜面, 30 °C 培养至成熟, 4 °C 冰箱保存, 供后续摇瓶发酵考察使用。

1.5 比浊法测生物量

取 1 mL 发酵液, 经稀释 5 倍后, 以灭菌后的空白培养基作为对照, 用 7220 型分光光度计, 在 620 nm 波长下测定稀释液的吸光度(A), 以 A_{620} 表示发酵液中的菌体浓度。

1.6 2,3,5-氯化三苯基四氮唑(简称 TTC)显色法估测甾体脱氢酶活力^[7]

取 8 mL 发酵液样品于试管中, 30 °C 水浴保温 10 min 后, 加入 3 滴 1% TTC 溶液, 摆匀, 继续保温并开始计时, 记录培养液颜色开始转变为微红时所需的时间, 以显色时间的长短表示简单节杆菌细胞内甾体脱氢酶活力的高低. 显色时间越短, 表明细胞的酶活性越高。

1.7 转化率的测定

用甲醇提取滤饼, 过滤, 取滤液 1 mL 置于 Eppendorf 管中, 加入一定量的甲醇稀释, 使产物和底物的质量浓度保持在 0.5 g/L 以下, 再加一定量的睾酮内标物(0.4 g/L), 然后将该样品液通过 0.45 μm 的膜过滤. 色谱条件为: 色谱柱 Kromasil C₁₈ 5 μm , 流动相 $V_{\text{甲醇}} : V_{\text{水}} = 75 : 25$, 流量 1 mL/min, 检测波长 241 nm、进样量 10 μL .

1.8 突变率的测定

取随机挑取的诱变后的菌株接摇瓶发酵, 以出发菌株作为对照, 测定转化率. 规定转化率高于出发菌 2% 为正突变, 低于 2% 为负突变, 二者之间为未突变。

2 结果与讨论

2.1 出发菌株的甲基睾丸素脱氢性能

实验所用的 16 株简单节杆菌, 对醋酸可的松均具有较强的脱氢能力. 据报道^[8], 简单节杆菌产生的甾体 C1,2 位脱氢酶对底物的转化与甾体底物的化学结构有关, 考虑到适合于不同甾体底物脱氢反应的菌种性能可能会有所不同, 首先针对甲基睾丸素底物进行摇瓶初筛. 结果表明, 16 株供试菌株对 17α -甲基睾丸素均有一定的转化能力. 其中编号为 TCCC11042 菌株的转化率达到 48%, 发酵终点 pH 为 6.8, 确定此菌株作为后续研究的出发菌株。

2.2 N⁺离子注入诱变处理

设定靶室抽真空时菌株的存活率为100%，随着N⁺离子注入剂量增加，存活率呈现较明显的先降后升再降的“马鞍形”变化趋势，如图1所示。这种特有的变化被认为是能量、动量作用下的损伤效应和质量、电荷作用下的保护和刺激综合作用的结果。从分离平板上随机挑取典型的单菌落转接斜面（共转接120株），逐一接种摇瓶进行转化能力考察，按照1.8的方法测定突变率。由图2可见，注入剂量为(30~50)×10¹⁴ions/cm²时正突变率最高，恰好在“马鞍形”区域内。超过50×10¹⁴ions/cm²后，菌株突变率继续增加，正突变率明显下降，分析其原因可能是随着离子注入剂量的增大，造成DNA和生物膜等严重损伤，对120株突变株的转化结果进行分析，结果表明，经N⁺离子注入诱变处理后得到的诱变株的生产性能相差较大，其中编号为N50-3-62和N50-3-105的诱变株转化率较高，分别达到52.8%和51.4%。

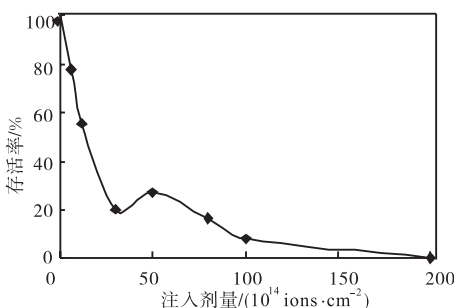


图1 N⁺辐照的存活效应

Fig.1 Survival rate after N⁺ ion implantation

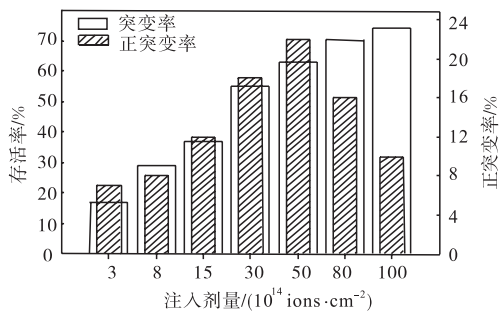


图2 N⁺离子注入对菌株突变及正突变的影响

Fig.2 Mutation rate and positive rate of 31-2 strain after N⁺ ion implantation

2.3 Cs¹³⁷-γ射线辐照诱变

诱变育种中常采用诱变剂复合处理，使它们产生协同作用^[9]，为此，对N⁺离子注入诱变株N50-3-62和N50-3-105均使用0.5kGy和1.0kGy两个剂量的Cs¹³⁷-γ射线辐照进行诱变处理。从分离平板中随机挑取诱变株100株转接斜面，并逐一接种摇瓶后发

酵，以考察各菌株的转化性能。不同辐照剂量的诱变结果见表1。结果表明，简单节杆菌对Cs¹³⁷-γ射线辐照诱变处理比较敏感，在0.5kGy、1.0kGy两个剂量下，致死率都达到99%以上。相对而言，在0.5kGy处理剂量时出发菌株的正突变率较高，分别为9.2%和8.4%。对100株突变株的转化结果进行分析，结果表明，挑取的诱变株中出现了脱氢转化能力有较大提高的正变菌株，其中编号为F2-20菌株的转化率最高，经HPLC色谱分析，转化率达到60.8%，比出发菌株TCCC11042的转化率提高了12.8%。此诱变株平板培养时的菌落形态与TCCC11042相似，但生长速度明显加快。

表1 不同辐照剂量下诱变结果的比较

Tab.1 Result of different mutant amount on the two strains

出发菌株	辐照剂量/kGy	致死率/%	正突变率/%
N50-3-62	0.5	99.5	9.2
	1.0	99.9	5.6
N50-3-105	0.5	99.5	8.4
	1.0	99.9	4.3

2.4 诱变株F2-20传代稳定性考察

取诱变株F2-20，通过连续传代的方式考察其遗传稳定性，结果（表2）表明该菌株的遗传性能比较稳定。传代至第8代时，转化率为59.8%，第9代为57.9%。

表2 诱变株F2-20的传代稳定性

Tab.2 Productivity of mutants F2-20 for each generation

斜面转接次数	转化率/%
1	60.8
2	60.8
3	60.5
4	60.6
5	60.7
6	60.3
7	60.0
8	59.8
9	57.9

3 结 论

对收集、保藏的16株简单节杆菌，以甲基睾丸素为底物进行摇瓶初筛，筛选出一株转化率相对较高的出发菌TCCC11042，依次经N⁺离子注入和Cs¹³⁷-γ射线辐照两次诱变处理，选育得到正变株F2-20，该菌株对17α-甲基睾丸素脱氢转化率达到60.8%，比出发菌株TCCC11042的转化率提高了12.8%。经群

体传代方式考察,突变株F2-20具有良好的遗传稳定性。

参考文献:

- [1] Songtao B,Lianxiang D,Liming Z,et al. Bioconversion of methyl-testosterone in biphasic[J]. Process Biochemistry,2005,40:3309-3313.
- [2] Manosroi J,Sripalakit P,Manosroi A. Biotransformation of chlormadinone acetate to delmadinone acetate by free and immobilized *Arthrobacter simplex* ATCC 6946 and *Bacillus sphaericus* ATCC 13805[J]. Enzyme Microb Technol,2003,33:320-325.
- [3] 张一青,陆兆新,邹晓葵. N^+ 离子注入对 *Aspergillus sp.* 产原果胶酶的诱变效应[J]. 辐射研究与辐射工艺学报,2005,23(3):140-144.

(上接第21页)

2.6 最佳提取工艺确定

通过SAS8.1编程得到的最佳提取工艺条件为超声温度72.62℃,超声时间48.64 min,液固比40.88:1,理论得率为8.46 mg/g。值得注意的是本文所测得的马齿苋黄酮得率较高,原因主要是本实验所用的马齿苋浸提溶剂为水,由于水的极性大,易把色素、蛋白质、糖类等溶于水的成分浸提出来,这些成分会影响分光光度计对马齿苋黄酮的测定,使测得的吸光度较大,故所得的马齿苋黄酮含量偏大。

2.7 马齿苋黄酮提取的优化与验证

参照理论上的最佳提取工艺条件:超声温度73℃,超声时间49 min,液固比41:1,所得实验结果为8.24 mg/g,实际的平均得率与理论得率极为接近。

3 结 论

(1)超声波方法可较好地应用于马齿苋黄酮的提取,其有效成分黄酮类化合物可较好保留。整个过程在较低的温度下操作,有利于马齿苋黄酮不被破坏。

(2)应用响应面法得到最佳的操作工艺为:超声温度73℃,超声时间49 min,液固比41:1。在此条件下测得黄酮得率为8.24 mg/g,与理论预测值的误差为2.02%,说明采用RSM法优化得到的浸提条件

- [4] 虞龙,周剑,余增亮. 低能离子注入L-乳酸生产菌种选育与发酵条件初步优化[J]. 激光生物学报,2005,14(3):184-188.
- [5] 魏赛金,付学琴,程新. Co^{60} - γ 射线对南昌霉素产生菌的诱变选育[J]. 中国抗生素杂志,2002,27(10):580-581.
- [6] 王普,裘娟萍,郑裕国,等. 高产虾青素的红发夫酵母菌种的选育[J]. 微生物学通报,2002,29(1):15-19.
- [7] 金青萍,郑自龙,刘维达. 醋酸可的松微生物转化工艺条件的研究[J]. 微生物学通报,1985,12(1):19-21.
- [8] Lee MK,Bae M. Enzymatic characteristics of steroid Δ^1 -dehydrogenase from *Arthrobacter simplex*[J]. Journal of Microbiology and Biotechnology,1994,4(2):119-125.
- [9] 岑沛霖,蔡谨. 工业微生物学[M]. 北京:化学工业出版社,2000:227.

可靠。

参考文献:

- [1] 朱晓宦,吴向阳,仰榴青. 马齿苋的化学成分和药理活性研究进展[J]. 常熟理工学院学报:自然科学版,2007,21(4):60-64.
- [2] 贾光锋,贾荣博. 马齿苋的功能特性及应用[J]. 粮食与食品工业,2003,(4):36-38.
- [3] 董立巍,岳义田,王万银. 马齿苋总黄酮抗小鼠缺氧作用及其机制研究[J]. 中国公共卫生,2005,21(12):1434-1436.
- [4] 肖政. 马齿苋及其在食品工业中的利用现状和开发前景[J]. 食品科学,2003,24(9):159-163.
- [5] 张睿,徐雅琴,时阳. 黄酮类化合物提取工艺研究[J]. 食品与机械,2003(1):21-22.
- [6] 毛跟年,许牡丹. 功能食品生理特性与检测技术[M]. 北京:化学工业出版社,2005:557-558.
- [7] 黄泽元,王海滨,刘志伟. 芝麻叶中总黄酮的最佳提取工艺研究[J]. 农业工程学报,2004,20(6):201-204.
- [8] Lee W C,Yusof S,Hamid N S A,et al. Optimizing conditions for hot water extraction of banana juice using response surface methodology (RSM)[J]. Journal of Food Engineering,2006,75(4):473-479.